

## • 基础研究 •

**急性肺栓塞后富半胱氨酸蛋白1的表达变化及其机制研究**

李圣青 李树钧 刘阿茹 赵峰 简文 遆新宇 欧阳海峰

**【摘要】目的** 研究大鼠急性肺栓塞模型肺组织中富半胱氨酸蛋白1(CRP1)的表达变化以及内皮素-1(ET-1)和血小板源性生长因子(PDGF)对肺动脉平滑肌细胞(PASMCs)中CRP1表达的影响。**方法** 建立大鼠急性肺栓塞模型,分别在急性肺栓塞后1,8,24,48h开胸取出肺组织。常规提取肺组织的总RNA和总蛋白,以正常组为对照,采取半定量RT-PCR和Western blot方法研究CRP1在mRNA水平和蛋白水平的表达变化;采用免疫组织化学的方法检测大鼠肺组织中CRP1在肺栓塞前后表达的变化及其组织分布情况。分离培养PASMCs,在培养液中分别加入 $1\mu\text{mol/L}$  ET-1和 $10\mu\text{g/L}$  PDGF,分别采用半定量RT-PCR、Western blot和免疫荧光染色的方法研究不同时间点CRP1在PASMCs中的表达。采用Western blot方法研究SRF-CRP1-GATA6转录蛋白复合体中SRF和GATA6蛋白在不同时间点的表达。**结果** 在大鼠急性肺栓塞后的不同时间点,CRP1的mRNA水平和蛋白水平均逐渐升高,免疫组化研究表明CRP1主要分布在PASMCs,在急性肺栓塞后表达显著升高。PASMCs在ET-1和PDGF的作用下CRP1的表达随着时间的延长均显著升高。Western blot检测发现PASMCs内SRF和GATA6蛋白在不同时间点的表达均明显升高。**结论** 大鼠急性肺栓塞后肺组织内PASMCs的CRP1表达明显升高。离体实验表明ET-1和PDGF显著促进了PASMCs内CRP1的表达。CRP1可能通过SRF-CRP1-GATA6转录蛋白复合体参与PASMCs特异性基因表达的调控。

**【关键词】** 肺栓塞;肺动脉;平滑肌细胞;富半胱氨酸蛋白1;血小板源性生长因子;内皮素-1

## The expression changes of cysteine-rich protein 1 and its mechanism after acute pulmonary embolism

LI Shengqing, LI Shujun, LIU Aru, et al

Department of Respiratory Medicine, Xijing Hospital, the Fourth Military Medical University, Xi'an 710032, China

**【Abstract】Objective** To study the expression changes of cysteine-rich protein 1 (CRP1) in the lung tissues of acute rat pulmonary embolism (PE) model and the effects of endothelin-1 (ET-1) and platelet-derived growth factor (PDGF) on the expression of CRP1 in pulmonary artery smooth muscle cells (PASMCs). **Methods** Acute rat PE model was established. The samples of lung tissues were collected at different time points: 1h, 8h, 24h and 48h after PE. The normal rats were used as controls. The mRNA level changes of CRP1 were identified by semi-quantitative RT-PCR, and the protein level changes of it were identified by Western blot method. The immunohistochemical method was employed to study the distribution and expression changes of CRP1 in the lung tissues after acute PE. PASMCs were isolated and cultured with  $1\mu\text{mol/L}$  ET-1 and  $10\mu\text{g/L}$  PDGF. Semi-quantitative RT-PCR, Western blot and immunofluorescent staining were employed to study the expression changes in PASMCs at different time points. The expression changes of SRF and GATA6 in PASMCs, the components of the transcriptosome SRF-CRP1-GATA6, were studied by the methods of Western blot. **Results** At different time points after PE, the mRNA levels and protein levels of CRP1 increased in the lung tissues of acute rat PE models. The immunohistochemical study indicated that CRP1 was mainly expressed in PASMCs of the fumica media of the pulmonary arteries, and the expression of it was up-regulated after acute PE. The expression of CRP1 in PASMCs stimulated by ET-1 or PDGF increased gradually at different time points and so did the expression of SRF and GATA6. **Conclusion** The expression of CRP1 in PASMCs was up-regulated after acute PE. ET-1 and PDGF could significantly increase the expression of CRP1 in PASMCs *in vitro*. The protein CRP1 might activate expression of PASMCs-specific gene through the SRF-

收稿日期:2007-01-29

作者单位:710032西安市,第四军医大学西京医院呼吸科

作者简介:李圣青,女,1970年1月生,安徽芜湖市人,医学博士,副主任医师,副教授。Tel:029-84775237, E-mail: shengqingli@gmail.com

CRP1-GATA6 transcriptosome.

**【Key words】** pulmonary embolism; pulmonary artery; smooth muscle cells; cysteine-rich protein 1; platelet-derived growth factor; endothelin-1

肺栓塞(pulmonary embolism, PE)是血栓性或其他性质的栓子(如气体、羊水、脂肪)顺着血流方向堵塞肺动脉的结果。PE的血栓性栓子主要来源于下肢或盆腔静脉,少部分来自其他体静脉和右心。老年人因为合并较多的PE易患因素,如肥胖、糖尿病、肿瘤及心肺疾病等,使老年PE的临床表现更为复杂而不易识别,误诊率更高<sup>[1]</sup>。随着PE诊断水平的提高和人口老龄化的进展,老年PE的患者人数呈逐年增加趋势,因此PE的研究在老年心血管病的研究中占有越来越重要的地位。笔者研究发现,大鼠急性PE后出现了一系列的蛋白表达变化,其中富半胱氨酸蛋白1(cysteine-rich protein 1, CRP1)在急性PE后出现了明显的表达上调<sup>[2]</sup>。CRP家族包括CRP1、CRP2和CRP3三种蛋白,它们都共同含有两个LIM结构域。CRP1主要表达于脉管系统的平滑肌细胞和内脏的平滑肌细胞,是平滑肌细胞的特异性标记蛋白。CRP2除了表达于平滑肌细胞外,还表达于成纤维细胞,能够促进成纤维细胞向平滑肌细胞的转化<sup>[3]</sup>。CRP3则主要表达于横纹肌细胞。目前研究发现CRP1基因上游有一个含CArG盒的增强子,血清反应因子(serum reaction factor, SRF)与CArG盒相结合可以激活CRP1基因的表达<sup>[4]</sup>。CRP1主要有两大功能,一方面CRP1可以与α-辅肌动蛋白和斑联蛋白结合,参与细胞骨架的重构;另一方面CRP1能够与SRF和GATA蛋白相结合,形成转录复合体蛋白,激活平滑肌细胞特异性基因如SM $\alpha$ A, SM22 $\alpha$ 和SM-calponin等的表达<sup>[5]</sup>。内皮素-1(endothelin-1, ET-1)和血小板源性生长因子(platelet-derived growth factor, PDGF)是急性PE后活化的血小板释放的主要生物活性因子<sup>[6]</sup>。它们一方面有强烈的缩血管作用,还能够促进肺动脉平滑肌细胞(pulmonary artery smooth muscle cells, PASMCS)的增殖,促进成纤维细胞向平滑肌细胞的转化,从而导致肺血管系统的重构<sup>[7,8]</sup>。为了深入研究CRP1分子与急性PE的关系,本研究进一步探讨了CRP1在急性PE后的表达变化以及ET-1和PDGF对PASMCS中CRP1表达的影响。

## 1 材料和方法

1.1 材料 TRIzol Reagent 和 SuperScript III 均购自 Invitrogen 公司。rTaq 酶购自 Takara 公司。

CRP1 鼠单抗和 SRF 鼠单抗均购自 Biocompare 公司, GATA6 兔多抗购自 Santa Cruz 公司。ET-1 和 PDGF 均购自 Sigma 公司。紫外分光光度计 UV330 购自英国 Unicam 公司, PE 9700 PCR 仪和 Image Master TotalLab v1.11 软件均购自 Amersham Pharmacia 公司。雄性 Wistar 大鼠购自第四军医大学实验动物中心。

1.2 大鼠急性PE模型的建立 在 Clozel 等<sup>[9]</sup>的模型基础上做如下改进:首先制备体外血栓,取 Wistar 大鼠 1 只,心脏穿刺取血,注入医用输液器的前段塑料管(内径约 2 mm)。每毫升全血中加入 33 nkat 凝血酶,室温下静置过夜,制备直径 2 mm、长 10 mm 的自体血栓。取 40 只 Wistar 大鼠,随机分 5 组(即正常对照组、1h 组、8h 组、24h 组和 48h 组),每组 8 只。将大鼠用 10g/L 戊巴比妥 1.2 ml 麻醉,经大鼠颈总静脉插管注入栓子,3 个/只。以正常组为对照。分别在 1, 8, 24, 48h 开胸取肺组织,用于提取总 RNA 和总蛋白,剩余部分肺组织用于石蜡包埋切片。

1.3 大鼠PASMCS的分离培养 将大鼠麻醉后在无菌条件下,分离 2~3 级肺动脉平滑肌组织,按照组织贴块法培养 PASMCS,用含 20% 小牛血清的 DMEM 培养液培养,每周换液 2 次。培养的细胞用相差显微镜观察形态学特征,采用抗肌动蛋白单克隆抗体免疫细胞化学染色证实为平滑肌细胞,无内皮细胞、成纤维细胞污染。0.25% 胰蛋白酶消化传代培养,取其第 3~5 代作为实验用细胞。在培养液中分别加入 1 μmol/L ET-1 或 10 μg/L PDGF 孵育,分别在 1, 8, 24, 48h 收集 PASMCS,用于半定量 RT-PCR, Western blot 和细胞免疫荧光检查。

1.4 半定量 RT-PCR 采用 TRIzol 试剂提取大鼠肺组织和 PASMCS 的总 RNA。采用琼脂糖凝胶电泳验证总 RNA 的质量,采用紫外分光光度计进行 RNA 定量。采用 SuperScript III 合成 cDNA 第一链,总反应体系达 20 μl,反应物 -20°C 保存或直接用于 PCR。采用 Primer Premier 5.0 PCR 引物设计软件分别设计 CRP1 和 β-actin 的引物。同时采用 Sequencher 序列比对软件对 CRP1 和内参 β-actin 的引物序列做了特异性验证。CRP1 引物序列:上游 5'-GGG CAA CAG CTT CCA CAA -3',下游 5'-CGG CAC CGA TCA CCT TCT -3';扩增长度 329bp。内参 β-actin 引物序列:上游 5'-GAT

GAC CCA GAT CAT GTT TG-3', 下游 5'-TAG GAG CCA GGG CAG TAA-3', 扩增长度 614bp。采用 PE 9700 PCR 仪, 反应体系 25 μl。PCR 反应条件: 94℃ 变性 2min, 94℃ 变性 10s, 55℃ 退火 15s, 72℃ 延伸 1min, 72℃ 延伸 7min, 4℃ 保存。分别在 20、30 和 35 个循环取样, 用 12 g/L Agorase 进行琼脂糖电泳。采用 Image Master TotalLab v1.11 软件作图像分析。首先确定条带, 消除背景, 然后以 Marker 条带为标准计算待测条带的 Volume 值, 最后计算目的条带与对应内参条带的比值。

**1.5 Western blot** 先用三氯醋酸/丙酮沉淀法沉淀肺组织蛋白, 然后在沉淀中加入裂解液 (50 mmol/L Tris HCl, pH 8.0, 10 g/L SDS, 10 g/L DTT, 1 mmol/L PMSF, 1 mmol/L EDTA, 0.7 mg/L 抑肽素, 0.5 mg/L 亮肽素)。15℃, 40 000×g, 离心 1h, 取上清。用 Bradford 法对上清进行蛋白定量, 分装后 -80℃ 保存。PASMCs 的蛋白提取略有不同。先将 PASMCs 细胞用 0.01 mol/L PBS 洗 3 次, 迅速称量样品湿重后, 加入约 5 倍量的上述裂解液, 混匀后移入 1.5 ml Eppendorf 管中, 冰浴中以最大功率超声破碎细胞 (3 × 10 s), 然后 15℃, 40 000×g 的转速离心 1 h。收集上清用 Bradford 法定量。肺组织 SDS-PAGE 电泳的蛋白上样量为 40 μg, PASMCs 的 SDS-PAGE 电泳的蛋白上样量为 20 μg。经过转膜和封闭处理后, 按顺序分别加一抗和相对应的二抗, 以 β-tubulin 为内参照, 最后用 A、B 液显色。采用 ImageMaster3.0 软件扫描测定每个蛋白条带的 Volume 值。

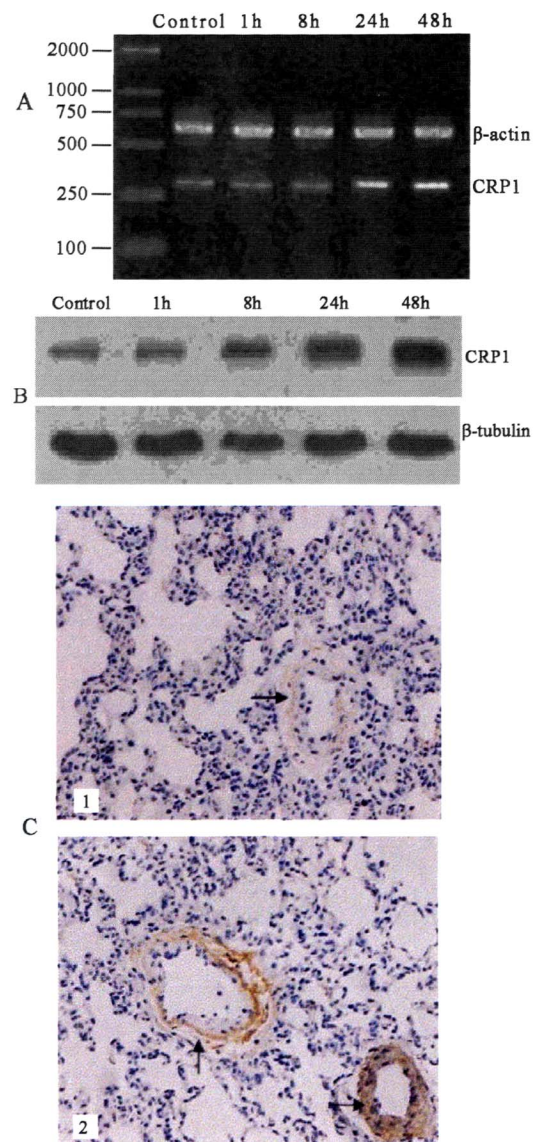
**1.6 免疫组织化学和细胞免疫荧光染色** 采用 CRP1 鼠单抗检测急性 PE 后 48 h 肺组织内 CRP1 蛋白的表达, 二抗为 HRP 标记, 最后用 DAB 显色。一抗用 PBS 代替作为空白对照。采用间接细胞免疫荧光染色法, 利用 CRP1 鼠单抗和 FITC 标记的二抗检测 PASMCs 内 CRP1 蛋白的表达。

**1.7 统计学分析** 采用 SPSS10.0 统计软件分析, 测量值以  $\bar{x} \pm s$  表示, 组间差异比较采用重复测量方差分析法。

## 2 结果

**2.1 肺组织内 CRP1 的表达** 大鼠急性 PE 后, 肺组织中 CRP1 的 mRNA 和蛋白水平逐渐升高, 在 24 和 48h 尤为显著(图 1, 表 1)。免疫组化染色显示 CRP1 主要表达于肺动脉中膜的平滑肌细胞和支气管壁的平滑肌细胞。在急性 PE 后 48h, 肺动脉中膜的平滑肌细胞 CRP1 的表达显著升高, 同时部分

成纤维细胞内也可见 CRP1 蛋白的表达(图 1)。



A: CRP1 的半定量 RT-PCR 结果; B: CRP1 的 Western blot 结果; C: CRP1 的免疫组化结果, C1: 对照组, C2: 48h  
图 1 急性肺栓塞后不同时间点肺组织中 CRP1 的表达变化

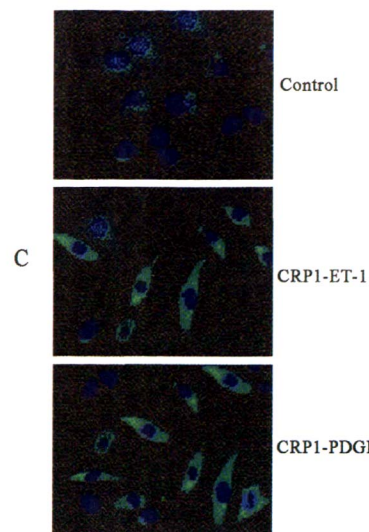
表 1 大鼠急性 PE 模型肺组织中 CRP1 的表达变化( $n=8, \bar{x} \pm s$ )

组别	CRP1(mRNA)	CRP1
对照组	0.24±0.13	214723±2577
1h 组	0.22±0.11	224758±2474
8h 组	0.26±0.14	408736±3857
24h 组	0.92±0.33*	1193758±9483*
48h 组	0.98±0.37*	1257893±9985*

注: 与对照组相比较, \*  $P < 0.05$ , \*\*  $P < 0.01$

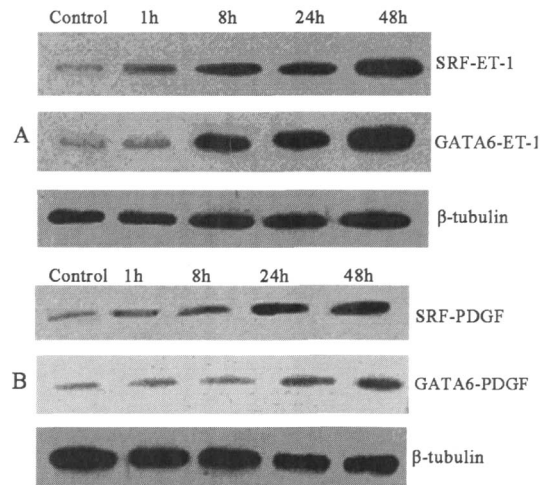
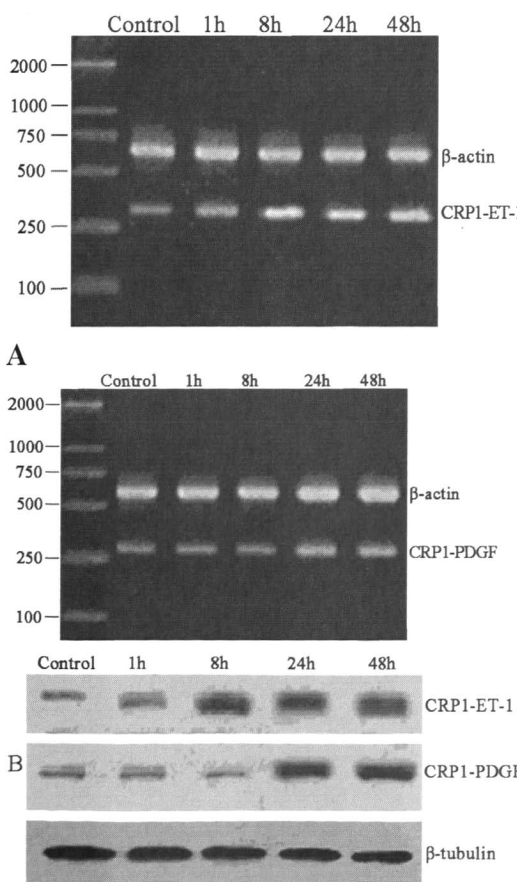
**2.2 ET-1 和 PDGF 促进 PASMCs 内 CRP1 的表达** 与对照组相比, PASMCs 中加入 ET-1 和 PDGF 后细胞生长速度加快。CRP1 的表达无论在 mRNA 水平还是在蛋白水平都显著升高(图 2, 表 2)。但是 PASMCs 与 ET-1 共同孵育 1h, 就可见 CRP1 的表达升高, 在 8h 时达高峰并一直维持在较高水平。PASMCs 与 PDGF 共同孵育 24h, CRP1 的表达才出现显著升高。细胞免疫荧光染色也显示与 ET-1 和 PDGF 共同孵育 48h 的 PASMCs 中 CRP1 的表达明显升高, 不仅胞浆染色阳性, 胞核内也可见 CRP1 的表达(图 2)。

**2.3 CRP1 的转录调节作用** PASMCs 与 ET-1 共同孵育 1h 后, SRF 的表达迅速升高并维持在一个较高水平。GATA6 的表达在 8h 时明显升高, 并一直维持在较高水平(图 3, 表 2)。PASMCs 与 PDGF 共同孵育 8h 后, SRF 的表达迅速升高并维持在一个较高水平。GATA6 的表达在 24h 时明显



A:CRP1 表达的半定量 RT-PCR 结果; B:CRP1 表达的 Western blot 结果; C: 与 ET-1 或 PDGF 共同孵育 48h 时 CRP1 表达的免疫荧光染色结果

图 2 PASMCs 中 CRP1 蛋白在 ET-1 和 PDGF 作用下不同时间点的表达变化



A:与 ET-1 共同孵育的 SRF 和 GATA 6 的 Western blot 结果;  
B:与 PDGF 共同孵育的 SRF 和 GATA 6 的 Western blot 结果

图 3 ET-1 和 PDGF 对 PASMCs 中 SRF 和 GATA 6 表达的影响

升高, 并一直维持在较高水平(图 3, 表 2)。

### 3 讨 论

笔者发现, CRP1 在急性 PE 后表达显著升高。CRP1 含有两个 LIM 结构域, 主要表达于脉管系统的平滑肌细胞和内脏的平滑肌细胞, 是平滑肌细胞

表2 ET-1 和 PDGF 对 PASMCs 中 CRP1 表达的影响( $n=8, \bar{x} \pm s$ )

组别	PASMCs incubated with ET-1				PASMCs incubated with PDGF			
	CRP1(mRNA)	CRP1	SRF	GATA6	CRP1(mRNA)	CRP1	SRF	GATA6
0h	0.29±0.13	94587±1034	53756±937	48758±949	0.12±0.06	39758±578	21875±475	13756±487
1h 组	0.58±0.29	104857±2148	98823±981	45968±937	0.24±0.11	40872±647	22847±658	15375±381
8h 组	1.18±0.43*	938546±4756*	489374±3246*	934576±3928*	0.21±0.09	29386±523	28679±876	14982±536
24h 组	0.94±0.39*	789358±4364*	419487±2946*	998284±4765*	0.89±0.34*	837567±5487*	683587±3247*	302857±1283*
48h 组	0.93±0.36*	774658±4175*	997468±4756*	1345863±9878*	0.81±0.36*	912847±4856*	798822±4193*	417464±2463*

注:与对照组相比较,\*  $P<0.05$ , \*\*  $P<0.01$

的特异性标记蛋白。本研究进一步揭示了 CRP1 分子在大鼠急性 PE 肺组织中的表达变化,发现在大鼠急性 PE 后的不同时间点,CRP1 的 mRNA 水平和蛋白水平均逐渐升高,免疫组化研究表明 CRP1 主要分布在 PASMCs 和部分成纤维细胞,在急性 PE 后表达显著升高。

为了研究急性 PE 后活化的血小板释放的 ET-1 和 PDGF 对 PASMCs 中 CRP1 表达的影响,本研究分离培养了 PASMCs,并与一定浓度的 ET-1 和 PDGF 共同孵育,发现 PASMCs 在 ET-1 和 PDGF 的作用下 CRP1 的表达随着时间的延长在 mRNA 水平和蛋白水平均显著升高。细胞免疫荧光染色也显示与 ET-1 和 PDGF 共同孵育 48h 的 PASMCs 中 CRP1 的表达明显升高,不仅胞浆染色阳性,胞核内也可见 CRP1 的表达。提示 CRP1 作为 PASMCs 转录因子的作用也十分活跃。

CRP1 能够与 SRF 和 GATA 蛋白相结合,形成转录复合体蛋白,激活平滑肌细胞特异性基因的表达。因此笔者研究了 PASMCs 在 ET-1 和 PDGF 的作用下 SRF 和 GATA6 蛋白的表达。Western blot 检测发现,PASMCs 在 ET-1 和 PDGF 的作用下,SRF 和 GATA6 蛋白随着时间的延长表达均明显升高。SRF 表达的升高一方面可以通过与 CArG 盒的结合,促进 CRP1 基因的表达;另一方面还能够与 CRP1 和 GATA6 结合,形成转录复合体,促进大量平滑肌细胞特异性基因的表达<sup>[10]</sup>。CRP1 蛋白由于含有两个 LIM 结构,所以在该转录复合体中发挥着桥接作用。

离体研究表明,大鼠急性 PE 后肺组织内 PASMCs 的 CRP1 表达明显升高与体内高水平的 ET-1 和 PDGF 的作用密不可分。ET-1 和 PDGF 可以通过 SRF 途径来增加 CRP1 的表达。PASMCs 内 CRP1 的高表达不仅可能参与 PASMCs 细胞骨架的重构,而且还可能通过 SRF-CRP1-GATA6 转录蛋白复合体参与 PASMCs 特异基因表达的调控。

## 参 考 文 献

- [1] Girard P, Sanchez O, Leroyer C, et al. Deep venous thrombosis in patients with acute pulmonary embolism: prevalence, risk factors, and clinical significance. Chest, 2005, 128:1593-1600.
- [2] 李圣青,赵峰,戚好文,等.肺组织灌注前后的双向电泳比较.西安交通大学学报(医学版),2006,27:203-206.
- [3] Chang DF, Belaguli NS, Iyer D, et al. Cysteine-rich LIM—only proteins CRP1 and CRP2 are potent smooth muscle differentiation cofactors. Dev Cell, 2003, 4:107-118.
- [4] Najwiler I, Lilly B. Ca<sup>2+</sup>/calmodulin-dependent protein kinase IV activates cysteine-rich protein 1 through adjacent CRE and CArG elements. Am J Physiol Cell Physiol, 2005, 289:C785-C793.
- [5] Tran TC, Singleton C, Fraley TS, et al. Cysteine-rich protein 1 (CRP1) regulates actin filament bundling. BMC Cell Biol, 2005, 6:45.
- [6] Reesink HJ, Meijer RC, Lutter R, et al. Hemodynamic and clinical correlates of endothelin-1 in chronic thromboembolic pulmonary hypertension. Circ J, 2006, 70:1058-1063.
- [7] Jankov RP, Kantores C, Belcastro R, et al. Endothelin-1 inhibits apoptosis of pulmonary arterial smooth muscle in the neonatal rat. Pediatr Res, 2006, 60:245-251.
- [8] Lanner MC, Raper M, Pratt WM, et al. Heterotrimeric G proteins and the platelet-derived growth factor receptor-beta contribute to hypoxic proliferation of smooth muscle cells. Am J Respir Cell Mol Biol, 2005, 33:412-419.
- [9] Clozel JP, Holvoet P, Tschoop T. Experimental pulmonary embolus in the rat: a new *in vivo* model to test thrombolytic drugs. J Cardiovasc Pharmacol, 1988, 12: 520-525.
- [10] McDonald OG, Wamhoff BR, Hoofnagle MH, et al. Control of SRF binding to CArG box chromatin regulates smooth muscle gene expression *in vivo*. J Clin Invest, 2006, 116:36-48.